

## روش بدون شبکه محلی پتروو - گالرکین برای شبیه‌سازی جریان‌های آب‌های کم‌عمق در شرایط غیرماندگار

سعید دیمه‌ور<sup>۱</sup>، ابوالفضل اکبرپور<sup>۲\*</sup>، مهدی ملازاده<sup>۳</sup>

تاریخ دریافت: ۱۳۹۶/۹/۳ تاریخ پذیرش: ۱۳۹۶/۹/۱۶

### چکیده

اهمیت جریان آب کم‌عمق در مهندسی آب موجب شده است که معادلات حاکم بر آن با روش‌های گوناگونی مورد بررسی قرار گیرد. روش‌های عددی هم‌چون اجزا محدود از جمله این روش‌ها است. این روش‌ها با شبکه‌بندی دامنه محاسباتی، معادلات دیفرانسیل را در شرایط ساده و پیچیده هندسی حل می‌کنند. اخیراً محققان برای حل معادلات دیفرانسیل از روش‌های بدون شبکه که به شبکه‌بندی دامنه حل نیاز ندارند، در شرایط ساده و پیچیده هندسی استفاده می‌کنند. در این تحقیق معادلات حاکم بر آب‌های کم‌عمق با استفاده از روش بدون شبکه پتروو - گالرکین با تابع تقریب حداقل مربعات متحرک مدل‌سازی شد. سپس به حل مثال جابجایی در میدان سرعت متغیر پرداخته شد و میزان خطای مدل محاسبه شد و مشخص گردید که مدل از دقت خوبی برخوردار است به طوری که میزان خطای میانگین و خطای میانگین مجذور مربعات به ترتیب  $0.0326$  و  $0.15627$  متر بود. سپس جریان عبور آب از روی سرریز سد سیاه بیشه مورد بررسی قرار گرفت و نتایج بدست آمده از مدل با مقادیر اندازه‌گیری شده مقایسه گردید. که موید دقت حل معادلات آب‌های کم‌عمق را با روش پتروو - گالرکین می‌باشد.

**واژه‌های کلیدی:** آب‌های کم‌عمق، تابع شکل حداقل جذر مربعات متحرک، روش بدون شبکه پتروو گالرکین

### مقدمه

آن ارایه کردند. از جمله این روش‌ها می‌توان به اجزا محدود، تفاضلات محدود و حجم محدود اشاره کرد.

این روش‌ها علی‌رغم مزایای فراوان دارای محدودیت‌هایی می‌باشند که مهم‌ترین آن‌ها نیازمند بودن به شبکه‌بندی دامنه حل است. از جمله مشکلات مرتبط با شبکه‌بندی دامنه حل می‌توان به کاهش دقت محاسبات در حین انتقال اطلاعات از مش‌بندی در مرحله قبلی به مش‌بندی در مرحله جدید اشاره کرد، چون برای انتقال اطلاعات ناچار به استفاده از توابع میانی است بنابراین دقت محاسبات کاهش می‌یابد (محتشمی و همکاران ۱۳۹۶). روش تفاضلات محدود بیش‌تر در حل مسایل دارای دامنه منظم کاربرد دارد و محدود به شبکه‌های مستطیلی است. روش تفاضلات محدود به شبکه‌بندی کامل دامنه حل نیازمند است، از این رو در مسایلی که شرایط مرزی مرتباً تغییر می‌کند نیازمند به روز شدن شبکه‌بندی دامنه حل است، که این مسئله امری زمان‌بر و پیچیده است. به همین دلیل اخیراً استفاده از روش‌های بدون شبکه گسترش یافته است.

اولین بار جینگولد و موناگان ایده روش‌های بدون شبکه را مطرح کردند. آن‌ها برای مدل‌سازی پدیده‌های نجومی از روش

بررسی جریان عبوری از روی سطوح و سازه‌های هیدرولیکی مختلف، پدیده فیزیکی مورد علاقه بسیاری از دانشمندان و مهندسان می‌باشد. برای مثال جریان‌هایی هم‌چون جزر و مد اقیانوس‌ها، موج‌های ناشی از وزش باد، موج‌های ناشی از شکست سد، سیلاب‌های رودخانه‌ای و عبور جریان آب از روی سرریزها نمونه‌هایی از این پدیده فیزیکی می‌باشند (رحمانی و فرویزی ۱۳۹۲). به طور کلی جریان در کانال‌های روباز، توسط معادلات آب‌های کم‌عمق مورد تجزیه و تحلیل قرار می‌گیرد. این معادلات، از معادلات سه‌بعدی تراکم‌ناپذیر نیویر - استوکس<sup>۴</sup> با فرض فشار هیدرواستاتیک، به‌دست می‌آید. نظر به کاربرد و اهمیت فراوان این معادلات در مهندسی آب، طی سال‌های گذشته محققان روش‌های عددی مختلفی برای تحلیل

۱- دانشجوی کارشناسی ارشد مهندسی عمران گرایش مهندسی و مدیریت منابع آب، دانشگاه بیرجند

۲- دانشیار دانشکده مهندسی گروه عمران، دانشگاه بیرجند

۳- استادیار دانشکده مهندسی گروه عمران، دانشگاه بیرجند

(\* نویسنده مسئول: Email: Akbarpour@Birjand.ac.ir

محلی پتروو - گالرکین به حل معادلات آب‌های کم‌عمق پرداخته شد و سپس برای یک مثال استاندارد مورد آزمون قرار گرفت و در نهایت عبور جریان آب از روی سرریز سد سیاه بیشه در حالت دوبعدی و در شرایط غیرماندگار مدل‌سازی شد.

## مواد و روش‌ها

### تابع تقریب حداقل مربعات متحرک

برای اولین بار نیرولز و همکاران از تابع حداقل مربعات متحرک برای ساخت تابع شکل و گسترش روش المان توسعه‌ای<sup>۱۰</sup> استفاده کردند (Nayroles et al., 1992). ایجاد پیوستگی در کل دامنه مسئله برای درون‌یابی تابع میدان و همچنین تقریب‌سازی با هر مرتبه دل‌خواه از سازگاری از مهم‌ترین ویژگی‌های این تابع تقریب است (Liu and Gu., 2005). این ویژگی‌های تابع حداقل مربعات متحرک موجب شد محققان به صورت گسترده از آن برای تولید توابع شکل استفاده کنند. به طوری که بلچکو و همکاران در روش بدون شبکه گالرکینو آتلوری و ژو در روش بدون شبکه پتروو - گالرکین<sup>۱۱</sup> از تابع حداقل مربعات متحرک برای تولید تابع شکل در روش‌های بدون شبکه خود استفاده کردند (Atluri and Zhu., 2000; Belytschko et al., 1994).

اگر  $U(X)$  یک تابع تغییرات میدانی در دامنه مورد بررسی  $\Omega$  باشد، تقریب  $U(X)$  در نقطه  $X$  با  $U^h(X)$  نشان داده می‌شود. تقریب حداقل مربعات متحرک تابع متغیر میدان را به فرم رابطه ۱ معرفی می‌کند (Belytschko et al., 1994):

$$U^h(X) = \sum_j^m p_j(X) a_j(X) = P^T(X) a(X) \quad (1)$$

که در آن  $m$  تعداد تک جمله‌ای‌های تشکیل دهنده  $P(X)$  و  $a(X)$  بردار ضرایب  $P(X)$  است که به صورت رابطه ۲ تعریف می‌شود:

$$a^T(X) = \{a_1(X) a_2(X) \dots a_m(X)\} \quad (2)$$

$P(X)$  یک بردار توابع پایه از مرتبه  $p$  است که در فضای یک-بعدی و دوبعدی به صورت رابطه ۳ و ۴ می‌باشد.

$$P^T(X) = \{1 \quad xx^2 \quad \dots \quad x^p\} \quad (3)$$

$$P^T(X, Y) = \{1 \quad xyx^2xyy^2 \quad \dots \quad y^p\} \quad (4)$$

به طور کلی بردار  $p$  بر اساس مثلث خیام پاسکال ساخته می‌شود. برای تعیین ضرایب مجهول  $a(X)$  تابع وزن‌دار  $J(X)$  که در رابطه ۵ نشان داده شده مینیمم می‌شود (Liu and Gu., 2005):

هیدرودینامیک ذرات هموار<sup>۱</sup> استفاده کردند (Gingold and Monaghan., 1977). ایده اصلی روش‌های بدون شبکه تقریب‌زنی دامنه مسئله با استفاده از گره‌ها و بدون نیاز به شبکه‌بندی دامنه حل است.

تاکنون برخی محققان سعی بر حل معادلات آب‌های کم‌عمق با استفاده از روش‌های بدون شبکه کرده‌اند. ژو و همکاران با استفاده از روش بدون شبکه که بر اساس تابع پایه شعاعی<sup>۲</sup> است، معادلات آب-های کم‌عمق همراه با مرز متحرک<sup>۳</sup> را مدل‌سازی کردند. آن‌ها با به کارگیری روش لاگرانژ-اویلر<sup>۴</sup> در فرمول‌سازی، حرکت مرز آزاد را ردیابی کرده و مسئله را تبدیل به دامنه مستقل از زمان کردند. سپس نتایج مدل را برای محاسبه جریان سیلاب ناشی از فروپاشی سد و رواناب موج در ساحل استفاده نمودند (Zhou et al., 2004). رودریگز-پاز و بونت با استفاده از روش هیدرودینامیک ذرات هموار اقدام به حل مسایل شکست سد در هندسه‌های مختلف کردند (Rodriguez-Paz and Bonet., 2005). در سال ۲۰۰۶ ارزانی با استفاده از روش حداقل مربعات گسسته<sup>۵</sup> همراه با گره‌های ساختار یافته، به آنالیز معادلات آب‌های کم‌عمق پرداخت (Arzani., 2006).

دربانی و همکاران با استفاده از روش المان طبیعی<sup>۶</sup> در یک فرمول‌بندی لاگرانژی اقدام به شبیه‌سازی معادلات آب‌های کم‌عمق در یک گردایان قوی کردند (Darbani et al., 2011). رحمانی و افشار از روش حداقل مربعات گسسته برای حل معادلات آب‌های کم-عمق در حالت ماندگار استفاده کردند. آن‌ها برای ساخت دستگاه معادلات، از تابع شکل حداقل مربعات متحرک<sup>۷</sup> استفاده نمودند. سپس نتایج بدست آمده را با نتایج تجربی و تحلیلی مقایسه کردند (RahmaniFiroozjaee and Afshar., 2011). رحمانی و فرویزی (۱۳۹۲) معادلات آب‌های کم‌عمق را با استفاده از روش بدون شبکه گالرکین<sup>۸</sup> و تابع شکل حداقل مربعات متحرک حل کردند و نتایج حاصله را برای حل مسئله شکست سد به کار بردند.

کرمانی و قیاسی با استفاده از روش المان طبیعی و درون‌یابی سبیسون<sup>۹</sup> معادلات آب‌های کم‌عمق را حل کردند. سپس نتایج حاصله را با نتایج حاصل از روش حجم محدود مقایسه کردند (Kermani and Ghiasi., 2016). در این تحقیق با استفاده از روش بدون شبکه

- 1- Smoothed Particle Hydrodynamics
- 2- Radial base function
- 3- Moving Boundary
- 4- Lagrangian-Eulerian scheme
- 5- Discrete Least Squares Mesh less
- 6- Natural Element Method
- 7- Moving Least Squares
- 8- Element Free Galerkin
- 9- Sibson interpolation

10- fDiffuse element method

11- Meshless local Petrov-Galerkin

Gu., 2005)

### تابع وزن

تابع وزن که نقش مهمی در عمل تقریب‌سازی تابع شکل دارد دارای چهار ویژگی زیر است (Liu., 2002).  
مقدار تابع وزن در داخل دامنه حمایتی مثبت است.  
مقدار تابع وزن در خارج دامنه حمایتی صفر است.  
مقدار تابع وزن به صورت یکنواخت نسبت به نقطه دل‌خواه، کاهش می‌یابد.

این تابع به میزان مناسبی روی مرزها نرم عمل می‌کند.  
تابع وزن به صورت‌های گوناگونی از جمله تابع گوسی و اسپیلین وجود دارد که در این پژوهش از تابع اسپیلین به‌عنوان تابع وزن به صورت رابطه ۱۶ استفاده شده است:

$$W_i(X) = \begin{cases} \frac{2}{3} - 4\bar{r}_i^2 + 4\bar{r}_i^3\bar{r}_i \leq 0.5 \\ \frac{4}{3} - 4\bar{r}_i + 4\bar{r}_i^2 - \frac{4}{3}\bar{r}_i^3 & 0.5 < \bar{r}_i \leq 1 \\ 0 & \bar{r}_i > 1 \end{cases} \quad (16)$$

$$\bar{r}_i = \frac{d_i}{r_w} = \frac{|x - x_i|}{r_w} \quad (17)$$

در رابطه ۱۷ شعاع تاثیر نقطه گرهی  $x_i$  می‌باشد. برای هر نقطه،  $r_w$  باید به گونه‌ای تعیین شود که تعداد وزن‌های غیرصفر، بزرگ‌تر از تعداد تک تک جملات موجود در چندجمله‌ای باشند ( $n > m$ ).

### روش عددی بدون شبکه محلی پتروو - گالرکین

این روش برای اولین بار توسط آتلوری و ژو ارایه شد (Atluri and Zhu., 2000). این روش در هیچ از یک مراحل تحلیل اعم از تقریب متغیر میدان و انتگرال‌گیری عددی معادلات نیاز به شبکه‌بندی دامنه مسئله ندارد. این روش با استفاده از فرم ضعیف محلی معادلات را حل می‌کند. تابع تقریب به کار رفته در این روش حداقل مربعات متحرک است و به منظور حل معادلات انتگرالی از روش انتگرال-گیری گوسی<sup>۲</sup> استفاده شد.

### فرمول‌بندی روش بدون شبکه محلی پتروو - گالرکین:

برای یک مساله مکانیک جامدات دوبعدی با دامنه  $\Omega$  محدود به مرز  $\Gamma$  معادله تعادل و شرایط مرزی به‌صورت روابط ۱۸، ۱۹ و ۲۰ نوشته می‌شود.

$$\sigma_{ij,j} + b_i = 0 \quad (18) \quad \text{معادله تعادل}$$

$$J(X) = \sum_I^n W(X - X_I) [P^T(X_I)a(X) - U_I]^2 \quad (5)$$

$$W(X - X_I) = W_I(X) \quad (6)$$

در رابطه ۵  $W_I(X)$  تابع وزن<sup>۱</sup> مربوط به نقطه گرهی  $I$  و مقدار داخل کروشه اختلاف بین مقدار تخمین زده شده در نقطه  $I$  و مقدار داده شده در همان نقطه می‌باشند.  $n$  نیز تعداد نقاط در دامنه حمایتی می‌باشد (Liu and Gu., 2005).

به منظور مینیمم کردن تابع  $J(X)$  رابطه ۷ بررسی می‌شود.

$$\frac{\partial J}{\partial a} = 0 \quad (7)$$

که در نهایت رابطه ۸ بدست می‌آید.

$$a(X) = A^{-1}(X)B(X)U_s \quad (8)$$

در رابطه (۸)،  $A(X)$ ،  $B(X)$  و  $U_s$  بصورت روابط ۹، ۱۰ و ۱۱ تعریف می‌شوند.

$$A(X) = \sum_I^n W(X_I)p(X_I)P^T(X_I) \quad (9)$$

$$B(X) = [W_1p(x_1)W_2p(x_2) \dots W_np(x_n)] \quad (10)$$

$$U_s = [U_1U_2 \dots U_n]^T \quad (11)$$

با جای‌گذاری رابطه ۸ در رابطه ۱ حداقل مربعات متحرک به صورت روابط ۱۲ و ۱۳ ارایه می‌گردد:

$$U^h(X) = \sum_I^n \sum_j^m P_j(X)(A^{-1}(X)B(X))_{jI}U_I \quad (12)$$

$$U^h(X) = \sum_I^n \phi_I(X)U_I \quad (13)$$

که در آن  $U^h(X)$  تقریب تابع  $\phi_I(X)$ ، تابع شکل و  $U_I$  پارامتر گرهی می‌باشد. به عبارتی دیگر تابع شکل به‌صورت رابطه ۱۴ بیان می‌گردد:

$$\phi_I(X) = \sum_j^m p_j(X)(A^{-1}(X)B(X))_{jI} = P^T A^{-1} B_I \quad (14)$$

مشتق جزئی تابع شکل به صورت رابطه ۱۵ بیان می‌شود:

$$\phi_{I,x}(X) = \sum_j^m \{ p_{j,x}(X)(A^{-1}(X)B(X))_{jI} + p_j(X)(A^{-1}(X)_{,x}B(X) + A^{-1}(X)B(X)_{,x})_{jI} \} \quad (15)$$

در این پژوهش تعداد توابع پایه بکار رفته در بردار  $P(X)$ ، شش ( $m=6$ ) و از مرتبه دو ( $p=2$ ) می‌باشد. هم‌چنین تعداد گره‌های موجود در دامنه حمایتی ( $n$ ) به نحوه توزیع گره‌ها و تعداد توابع پایه بستگی دارد و باید شرط وجود معکوس ماتریس  $A(X)$  در رابطه ۸ را ارضا نماید. به همین دلیل باید تعداد این گره‌ها از تعداد توابع پایه خیلی بیش‌تر باشد ( $n \gg m$ ). باید توجه داشت نظریه‌ای برای تعیین دقیق  $n$  وجود ندارد و باید از طریق آزمون‌های عددی بدست آید (Liu and

$$B = \begin{bmatrix} \frac{\partial \phi_1}{\partial x} & 0 & \frac{\partial \phi_n}{\partial x} & 0 \\ 0 & \frac{\partial \phi_1}{\partial y} & \dots & 0 & \frac{\partial \phi_n}{\partial y} \\ \frac{\partial \phi_1}{\partial y} & \frac{\partial \phi_1}{\partial y} & \frac{\partial \phi_n}{\partial y} & \frac{\partial \phi_n}{\partial y} \end{bmatrix} \quad (30)$$

**گسسته‌سازی معادلات آب‌های کم‌عمق با روش بدون شبکه محلی پتروو - گالرکین**

معادله آب‌های کم‌عمق یک معادله دیفرانسیل هندلولی است که با انتگرال‌گیری از معادلات سه‌بعدی ناویر استوکس و با فرض‌های جریان تراکم‌ناپذیر با توزیع فشار هیدرواستاتیک و توزیع یکنواخت سرعت در عمق بدست می‌آید. که عبارت است از (رابطه ۳۱).

$$\begin{cases} \frac{\partial h}{\partial t} + \frac{\partial(hu)}{\partial x} + \frac{\partial(hv)}{\partial y} = 0 & (31) \\ \frac{\partial(hu)}{\partial t} + \frac{\partial(hu^2 + gh^2/2)}{\partial x} + \frac{\partial(huv)}{\partial y} - gh(s_{0x} - s_{fx}) = 0 & ( \\ \frac{\partial(hv)}{\partial t} + \frac{\partial(hv^2 + gh^2/2)}{\partial x} + \frac{\partial(huv)}{\partial y} - gh(s_{0y} - s_{fy}) = 0 \end{cases}$$

در رابطه ۳۱،  $h$  عمق جریان،  $u$  و  $v$  سرعت متوسط عمقی به ترتیب در راستای  $x$  و  $y$ ،  $g$  شتاب ثقل،  $s_{0x}$  شیب بستر،  $s_{fx}$  شیب خط انرژی است. در عمل، معمولاً، شیب خط انرژی براساس ضریب زبری مانینگ به‌صورت روابط ۳۲ و ۳۳ به‌دست می‌آید.

$$s_{fx} = \frac{n^2 u \sqrt{u^2 + v^2}}{h^{4/3}} \quad (32)$$

$$s_{fy} = \frac{n^2 v \sqrt{u^2 + v^2}}{h^{4/3}} \quad (33)$$

که در آن  $n$  ضریب مانینگ می‌باشد. با صرف‌نظر از شیب خط انرژی معادلات آب‌های کم‌عمق به فرم ماتریسی رابطه ۳۴ بدست می‌آید:

$$U_t + AU_{,x} + BU_{,y} = SU \quad (34)$$

$$A = \begin{bmatrix} 0 & 1 & 0 \\ -u^2 + gh & 2u & 0 \\ -uv & v & u \end{bmatrix} \quad (35)$$

$$B = \begin{bmatrix} 0 & 0 & 1 \\ -uv & v & u \\ -v^2 + gh & 0 & 2v \end{bmatrix} \quad (36)$$

$$S = \begin{bmatrix} 0 & 0 & 0 \\ gs_{0x} & 0 & 0 \\ gs_{0y} & 0 & 0 \end{bmatrix} \quad (37)$$

معادله ۳۴ با استفاده از روش ضمنی به‌صورت رابطه ۳۸ گسسته‌سازی می‌شود.

$$u = \bar{u} \quad \Gamma_u \text{ شرط مرزی اساسی روی} \quad (19)$$

$$\sigma \cdot n = \bar{t} \quad \Gamma_t \text{ شرط مرزی طبیعی روی} \quad (20)$$

با استفاده از روش بدون شبکه محلی پتروو - گالرکین شکل ضعیف معادله ۱۸ روی دامنه محلی (دامنه تریب) حول گره  $I$  به صورت رابطه ۲۱ نوشته می‌شود.

$$\int_{\Omega_q} (\sigma_{ij,j} + b_i) W_I d\Omega = 0 \quad (21)$$

با استفاده از انتگرال‌گیری جز به جز و قضیه دیورژانس رابطه ۲۱ را می‌توان به فرم رابطه ۲۲ ساده کرد.

$$\int_{\Omega_q} W_I \sigma_{ij,j} d\Omega = \int_{\Gamma_q} W_I \sigma_{ij} n_j d\Gamma - \int_{\Omega_q} W_{I,j} \sigma_{ij} d\Omega \quad (22)$$

همچنین رابطه میان تنش و کشش روی مرز به صورت رابطه ۲۳ است.

$$\sigma_{ij} n_j = t_i \quad (23)$$

با جای‌گذاری معادله ۲۲ و ۲۳ در معادله ۲۱ رابطه ۲۴ حاصل می‌شود.

$$\int_{\Omega_q} W_{I,j} \sigma_{ij} d\Omega - \int_{\Gamma_{qu}} W_I t_i d\Gamma - \int_{\Gamma_{qi}} W_I t_i d\Gamma = \int_{\Gamma_{qt}} \bar{t}_i W_I d\Gamma + \int_{\Omega_q} W_I b_i d\Omega \quad (24)$$

در رابطه ۲۴،  $\Gamma_{qu}$ ،  $\Gamma_{qt}$  و  $\Gamma_{qi}$  به ترتیب معرف مرز داخلی دامنه تریب، مرز طبیعی و مرز اساسی هستند. از آنجایی که در این روش تابع وزن به نحوی انتخاب می‌شود که مقدار آن روی مرز داخلی دامنه تریب صفر باشد، پس مقدار جمله سوم سمت چپ رابطه ۲۴ صفر است. در نهایت معادلات خطی گسسته‌سازی شده برای گره  $I$  در فرم ماتریسی به صورت رابطه ۲۵ است.

$$K_I u = F_I \quad (25)$$

$$K_I = \int_{\Omega_q} V_I^T DB d\Omega - \int_{\Gamma_{qu}} W_I^T n DB d\Gamma \quad (26)$$

$$F_I = \int_{\Omega_q} W_I^T b d\Omega + \int_{\Gamma_{qt}} W_I^T t d\Gamma \quad (27)$$

در روابط ۲۵ و ۲۶،  $W$  ماتریس وزن کلی و  $V$  مشتق آن است.

$$W_I = \begin{bmatrix} W_1 & 0 & \dots & W_n & 0 \\ 0 & W_1 & \dots & 0 & W_n \end{bmatrix} \quad (28)$$

$$V_I = \begin{bmatrix} W_{1,x} & 0 & W_{n,x} & 0 \\ 0 & W_{1,y} & \dots & 0 & W_{n,y} \\ W_{1,y} & W_{1,x} & W_{n,y} & W_{n,x} \end{bmatrix} \quad (29)$$

می‌دهد در این شکل  $\Delta x = \Delta y = 0.05m$  فرض شده است. همچنین مقدار ضریب جریمه برای اعمال شرایط مرزی  $\alpha = 10^6$  در نظر گرفته شد. اشکال ۲ و ۳ نیز حل دقیق معادله و حل آن با روش بدون شبکه پتروف گالرکین را نشان می‌دهد. نمودار ۳ جایجایی یک کمیت اسکالر را در میدان سرعت  $\{y, -x\}$  نشان می‌دهد. همان‌طور که اشاره شد میدان سرعت در بازه  $-1 \leq x \leq 1$  و  $0 \leq y \leq 1$  متغیر می‌باشد. در حل دقیق مقدار این کمیت در نقاط واقع بر روی نمودار برابر یک و در سایر نقاط صفر است. این موضوع در شکل ۳ که مربوط به حل عددی روش پتروف گالرکین است نیز با دقت نسبتاً خوبی نشان داده شده است.

### معیارهای خطاسنجی

در این قسمت از معادلات زیر به عنوان معیارهای خطاسنجی و تعیین کارایی مدل استفاده شد. میانگین خطا، میانگین خطای مطلق و جذر میانگین مربعات خطا. واحد معیارها بر اساس واحد مقادیر وارد شده در آن‌هاست. روابط ۴۸، ۴۹ و ۵۰ نحوه محاسبه این معیارها را نشان می‌دهند.

$$ME = \frac{\sum_{i=1}^n (u_0 - u_s)}{n} \quad (48)$$

$$MAE = \frac{\sum_{i=1}^n |u_0 - u_s|}{n} \quad (49)$$

$$RMSE = \sqrt{\frac{\sum_{i=1}^n (u_0 - u_s)^2}{n}} \quad (50)$$

که در آن  $u_0$  و  $u_s$  به ترتیب مقدار محاسبه شده از حل دقیق و مقدار عددی محاسبه شده توسط مدل برای هر نقطه است. جدول ۱ مقادیر خطاهای محاسبه شده برای این مسئله را نشان می‌دهد. با توجه به مقادیر خطاهای محاسبه شده در جدول ۱ مشخص شد مدل از دقت و کارایی مناسبی برای حل معادلات دیفرانسیل هذلولی برخوردار است.

### مدل‌سازی عبور جریان آب از روی سرریز سد سیاه‌بیشه

سرریز سد سیاه‌بیشه یک سرریز اوجی است. پلان منطقه و هندسه سرریز در شکل‌های ۲ و ۳ نشان داده شده است همچنین جدول ۲ شامل مقادیر سرعت و ارتفاع اندازه‌گیری شده در نقاط مختلف جریان آب می‌باشد (RahmaniFiroozjaee and Afshar., 2011). هدف اندازه‌گیری سرعت و تراز سطح آب در طول مسیر است.

$$\frac{U_{n+1} - U_n}{\Delta t} + AU_{,x}^{n+1} + BU_{,y}^{n+1} = SU^{n+1} \quad (38)$$

که در رابطه  $\Delta t = t^{n+1} - t^n$  است.

معادله ۳۸ پس از بازنویسی به فرم رابطه ۳۹ تبدیل می‌شود.

$$(I - S\Delta t)U^{n+1} + A\Delta tU_{,x}^{n+1} + BU_{,y}^{n+1} = U^n \quad (39)$$

که  $I$  نمایانگر ماتریس واحد می‌باشد.

شرط مرزی دریشله (روی  $\Gamma_1$ ) به صورت رابطه ۴۰ است.

$$U^{n+1} - \bar{U} = 0 \quad (40)$$

در صورت وزن دار کردن رابطه ۳۹ و انتگرال‌گیری بر روی دامنه  $\Omega$  معادله آب‌های کم‌عمق به فرم ماتریسی رابطه ۴۱ در می‌آید.

$$KU^{n+1} = FU^n \quad (41)$$

$$K = \int_{\Omega} Iw_i\phi_i d\Omega - \int_{\Omega} S\Delta tw_i\phi_i d\Omega + \int_{\Omega} A\Delta tw_i\phi_{i,x} d\Omega + \int_{\Omega} B\Delta tw_i\phi_{i,y} d\Omega + \alpha \int_{\Gamma_1} w_i\phi_i d\Gamma \quad (42)$$

$$F = \int_{\Omega} w_i\phi_i d\Omega + \alpha \int_{\Gamma_1} w_i\bar{U} d\Gamma \quad (43)$$

با توجه به این که تابع شکل حداقل مربعات متحرک شرایط تابع دلتای کرونگر را ارضا نمی‌کند به همین دلیل به منظور اعمال شرط مرزی دریشله از روش جریمه‌هاستفاده شده است، که  $\alpha$  نیز ضریب جریمه می‌باشد.

### حل معادله جایجایی در میدان سرعت متغیر

معادله جایجایی در میدان سرعت متغیر یک معادله دیفرانسیل هذلولی است که جابه‌جایی یک کمیت اسکالر را در میدان سرعت نشان می‌دهد که معادله آن به صورت معادله ۴۴ می‌باشد:

$$yu_{,x} - xu_{,y} = 0 \quad (44)$$

در معادله ۴۴،  $A=y$ ،  $B=-x$ ،  $S=0$  و  $U=u$  می‌باشد.

حوزه فیزیکی معادله به صورت رابطه ۴۵ است.

$$\Omega(x, y) = \begin{cases} -1 \leq x \leq 1 \\ 0 \leq y \leq 1 \end{cases} \quad (45)$$

شرایط مرزی مسئله به شرح زیر است (رابطه ۴۶).

$$u(-1, y) = 0 \quad 0 \leq y \leq 1 \quad (46)$$

$$u(x, 1) = 0 \quad 0 \leq x \leq 1$$

$$u(x, 0) = 0 \quad -0.35 \leq x \leq 0$$

$$u(x, 0) = 0 \quad -0.1 \leq x \leq -0.65$$

$$u(x, 0) = 1 \quad -0.65 \leq x \leq -0.35$$

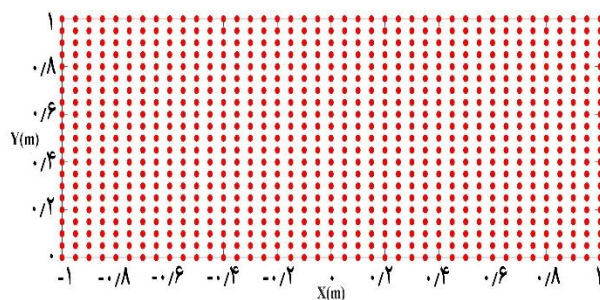
جواب دقیق این مسئله بصورت رابطه ۴۷ است.

$$\begin{cases} u(x, y) = 1 & 0.35 \leq (x^2 + y^2)^{0.5} \leq 0.65 \\ u(x, y) = 0 & otherwise \end{cases} \quad (47)$$

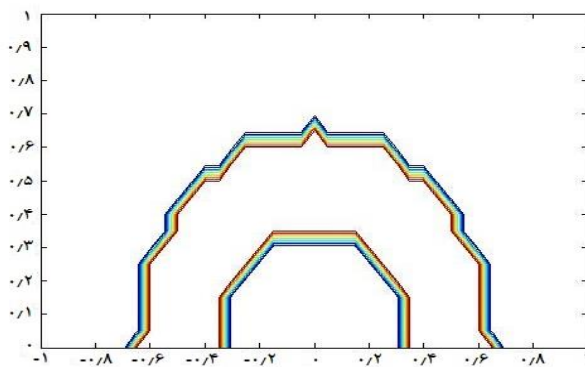
شکل ۱ نقاط و مرزها را برای حوزه فیزیکی با ۸۶۱ نقطه نشان

جدول ۱- محاسبه خطای میانگین، میانگین مطلق و جذر میانگین مربعات

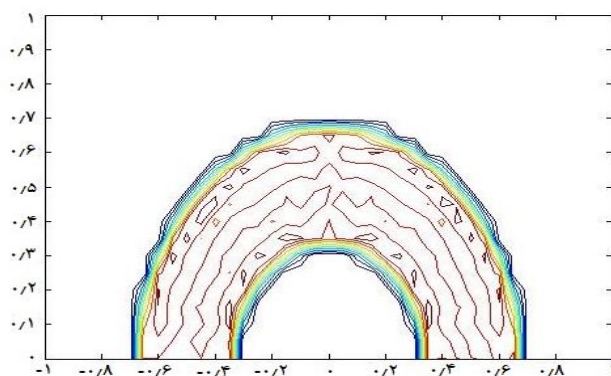
-۰/۰۳۲۶	میانگین خطا (متر)
۰/۰۶۵۵	میانگین خطای مطلق (متر)
۰/۱۵۶۲۷	جذر میانگین مربعات خطا (متر)



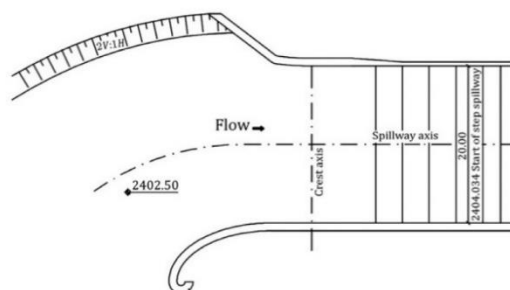
شکل ۱- دامنه محاسباتی مسئله جابجایی در میدان سرعت متغیر



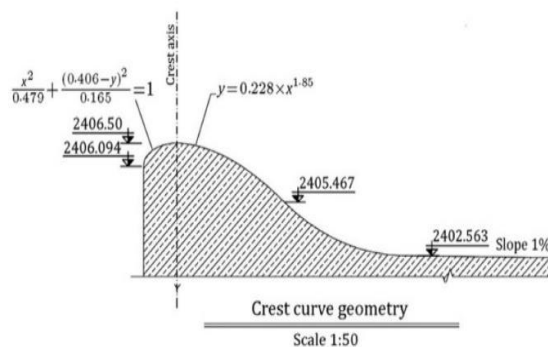
شکل ۲- حل دقیق مسئله جابجایی در میدان سرعت متغیر



شکل ۳- حل عددی مسئله جابجایی در میدان سرعت متغیر



شکل ۴- پلان سرریز سد سیاه بیشه (RahmaniFiroozjaee and Afshar., 2011)



شکل ۵ - هندسه سرریز سد سیاه بیشه (RahmaniFiroozjaee and Afshar., 2011)

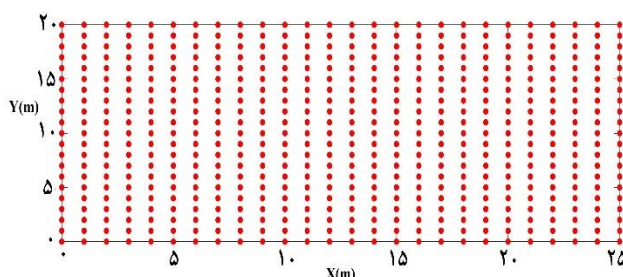
جدول ۲ - عمق آب و سرعت اندازه گیری شده در طول مسیر

دبی	مقطع	مشخصات		اندازه گیری ها	عمق از سطح آب	محل		
		ارتفاع	فاصله			دست راست	مرکز	دست چپ
۹۲	A	۲۴۰۲/۵	۰	عمق آب		۵/۷۱	۵/۷	۵/۷
				سرعت	۰/۲	۰/۸۶	۰/۶۳	۰/۴۵
۹۲	B	۲۴۰۲/۵	۷/۵	عمق آب	۰/۲	۵/۶۴	۵/۶۵	۵/۶۴
				سرعت	۰/۸	۰/۷۱	۰/۶۳	۰/۳۳
۹۲	C	۲۴۰۶/۵	۱۵	عمق آب	۰/۶	۴/۸۲	۴/۸۵	۴/۸۲
				سرعت	۰/۶	۰/۷۲	۰/۶	۰/۶۸
۹۲	D	۲۴۰۴/۴۹	۲۵	عمق آب	۰/۶	۷/۶۱	۷/۷۷	۷/۵۸
				سرعت	۰/۶			

گره‌ها در راستای x و y برابر یک متر ( $\Delta x = \Delta y = 1m$ ) و تعداد گره‌ها برابر ۵۴۶ است. همچنین  $\Delta t = 5s$  در نظر گرفته شد. ضریب جریحه  $\alpha = 10^6$  می‌باشد.

#### حل مسئله با توزیع گره‌ای منظم

در این حالت دامنه مسئله یک مستطیل به ابعاد  $20 \times 25$  با توزیع منظم گره‌ها مطابق شکل ۶ در نظر گرفته شد. به طوری که فاصله



شکل ۶ - دامنه مسئله با توزیع منظم گره‌ها

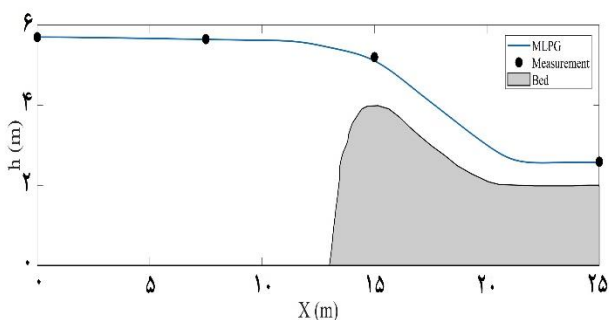
مقادیر بدست آمده از مدل در هر مقطع و مقایسه آن با مقادیر اندازه‌گیری شده است. همان‌طور که انتظار می‌رفت در حالت دامنه مستطیلی با توزیع منظم گره‌ای مقادیر سرعت و ارتفاع در هر سه

شکل‌های ۷ تا ۱۲ شامل نمودارهای سرعت و تراز سطح آب با روش بدون شبکه پترو - گالرکین در حالت توزیع منظم گره‌ای و مقایسه آن‌ها با مقادیر داده شده در جدول ۲ است. جدول ۳ شامل

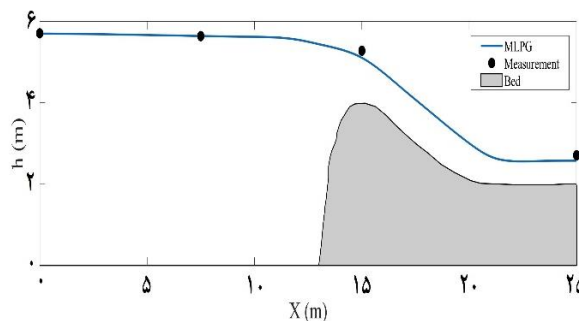
مقطع  $y = 0$  و  $y = 10$  m و  $y = 20$  m تقریباً با هم برابر شد. نزدیک‌تر است. جواب‌ها در مقطع میانی یعنی  $y = 10$  m به مقادیر اندازه‌گیری شده

جدول ۳- مقادیر بدست آمده از مدل در مقاطع مختلف در توزیع منظم گره‌ای

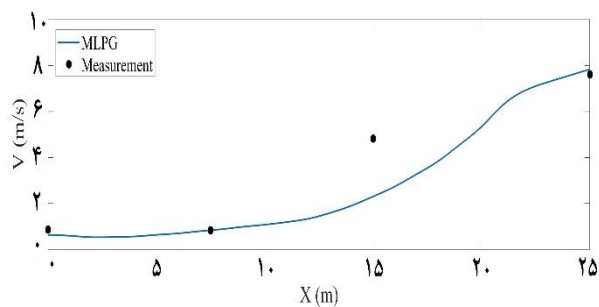
دست چپ		مرکز		دست راست		فاصله (متر)	مقطع
Measurement	MLPG	Measurement	MLPG	Measurement	MLPG		
۵/۷	۵/۷	۵/۷	۵/۷	۵/۷۱	۵/۷	تراز سطح آب (m)	A
-۰/۳۹	-۰/۶۳	-۰/۶۳	-۰/۶۳	-۰/۸۶۵	-۰/۶۳	سرعت (m/s)	
۵/۶۴	۵/۶۴۲	۵/۶۵	۵/۶۴۲	۵/۶۴	۵/۶۴	تراز سطح آب (m)	B
-۰/۷۰۵	-۰/۸۴۱	-۰/۷	-۰/۸۴۲	-۰/۸۳۵	-۰/۸۴	سرعت (m/s)	
۵/۲۵	۵/۱۵۳	۵/۲	۵/۱۵۳	۵/۲۸	۵/۱۵۳	تراز سطح آب (m)	C
۴/۸۲	۲/۳۴	۴/۸۵	۲/۳۴۷	۴/۸۲	۲/۳۴۳۳	سرعت (m/s)	
۲/۶۷	۲/۵۷۶	۲/۵۹	۲/۵۷۵	۲/۷۱	۲/۵۷۵	تراز سطح آب (m)	D
۷/۵۷	۷/۸۸۸	۷/۷۷	۷/۸۳	۷/۶۱	۷/۸۳۵	سرعت (m/s)	



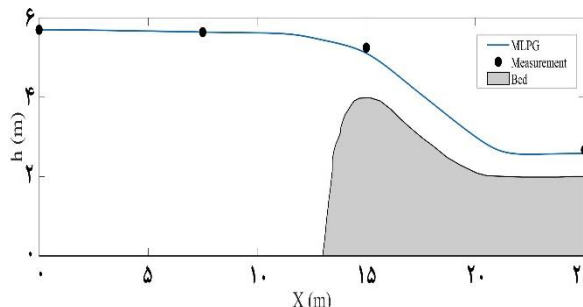
شکل ۸- نمودار تراز سطح آب در مقطع  $y=10$  m در توزیع منظم گره‌ای



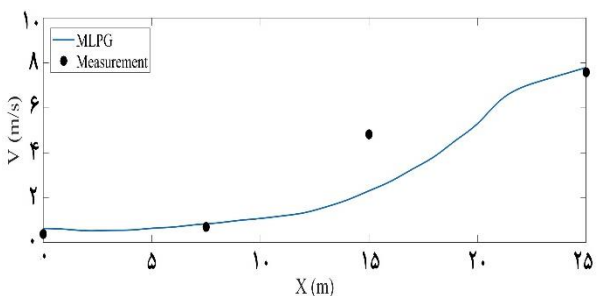
شکل ۷- نمودار تراز سطح آب در مقطع  $y=0$  m در توزیع منظم گره‌ای



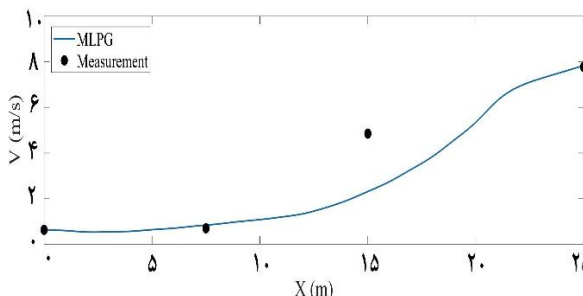
شکل ۱۰- نمودار سرعت آب در مقطع  $y=0$  m در توزیع منظم گره‌ای



شکل ۹- نمودار تراز سطح آب در مقطع  $y=20$  m در توزیع منظم گره‌ای



شکل ۱۲- نمودار سرعت آب در مقطع  $y=20$  m در توزیع منظم گره‌ای



شکل ۱۱- نمودار سرعت آب در مقطع  $y=10$  m در توزیع منظم گره‌ای



### نتایج توزیع گره‌ای منظم

#### تعیین مقادیر شاخص‌های خطاسنجی

در این بخش مقادیر میانگین خطا، میانگین خطای مطلق و جذر میانگین مربعات خطا با استفاده از روابط ۴۸، ۴۹ و ۵۰ محاسبه گردید. جدول ۳ شامل این مقادیر می‌باشد. همان‌طور که در جدول ۴ مشخص است خطا در دو حالت، با احتساب مقطع واقع در نقطه

سرریز و بدون احتساب آن محاسبه شده است. مقادیر خطا بدون در نظر گرفتن نقطه سرریز کاهش قابل توجهی یافته است و این بدین دلیل است که در پای سرریز توزیع واقعی فشار هیدرودینامیک است حال آن‌که در معادلات آب‌های کم‌عمق فرض توزیع فشار هیدرواستاتیک است و این مسئله عامل ایجاد خطا روی تاج سرریز به‌خصوص در مورد مقادیر سرعت است.

جدول ۴- محاسبه خطا در توزیع منظم گره‌ای

بدون لحاظ نقطه سرریز		با لحاظ نقطه سرریز		
تراز سطح آب	سرعت	تراز سطح آب	سرعت	
-۰/۰۹۸	۰/۲۸۸	-۰/۵۴۸۲	۰/۰۴۴۳	میانگین خطا (متر)
۰/۱۵۰۱	۰/۰۲۹۳	۰/۷۳۴۲	۰/۰۴۴۶	میانگین خطای مطلق (متر)
۰/۰۶۰۹	۰/۰۱۸۴	۰/۳۶۱۸	۰/۰۱۹۶	میانگین جذر مربعات خطا (متر)

موجب ایجاد خطا در محل سرریز می‌شود. ولی همان‌طور که از نمودارهای فوق مشخص است در سایر نقاط مدل از دقت مناسبی برخوردار است. هم‌چنین لازم به ذکر است در این پژوهش از اصطکاک انرژی صرف‌نظر شده است. که این امر مقداری خطا در محاسبات ایجاد می‌کند ولی به طور کلی مدل از توانایی مناسبی برای حل مسئله عبور آب از روی سرریز برخوردار است.

### حل مسئله با توزیع گره‌ای نامنظم

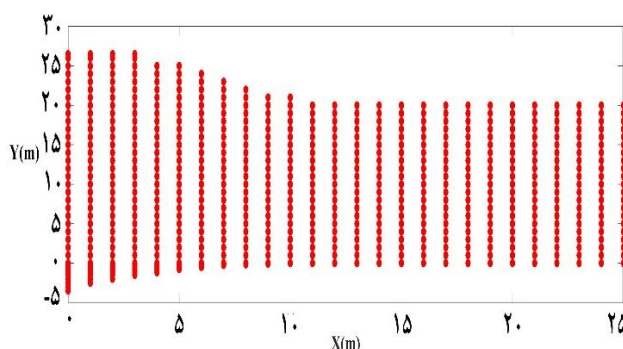
دامنه مسئله در این حالت به صورت شکل ۱۳ با توزیع گره‌ای نامنظم (با فواصل گره‌ای متفاوت) می‌باشد. تعداد گره‌ها برابر ۶۵۷ است.

هم‌چنین  $\Delta t = 4 s$  در نظر گرفته شد. اشکال ۱۴ تا ۱۹ شامل نمودارهای سرعت و تراز سطح آب با روش بدون شبکه پتروو-گالرکین در حالت توزیع نامنظم گره‌ای و مقایسه آن‌ها با مقادیر داده شده در جدول ۲ می‌باشد. جدول ۵ شامل مقادیر بدست آمده از مدل در هر مقطع در حالت توزیع نامنظم گره‌ای و مقایسه آن با مقادیر اندازه‌گیری شده است. همان‌طور که در شکل‌های ۱۴ تا ۱۹ نمایش داده شد در این حالت مقادیر سرعت و تراز سطح آب در هر مقطع با هم متفاوت است. مجدداً لازم به یادآوری است در معادلات آب‌های کم‌عمق توزیع فشار هیدرواستاتیک فرض می‌شود. حال آن‌که در قسمت سرریز توزیع واقعی فشار هیدرودینامیک است و این مسئله

### نتایج توزیع گره‌ای نامنظم

#### تعیین مقادیر شاخص‌های خطاسنجی

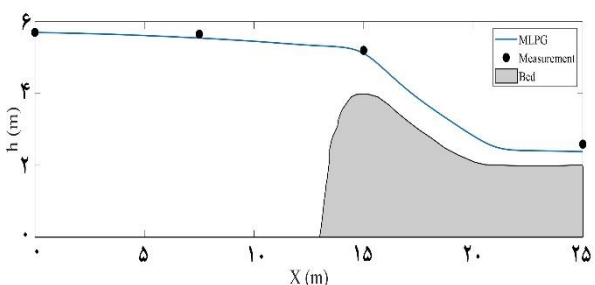
در این بخش مجدداً مقادیر میانگین خطا، میانگین خطای مطلق و جذر میانگین مربعات خطا با استفاده از روابط ۴۸، ۴۹ و ۵۰ در دو حالت، با لحاظ مقطع واقع بر سرریز و بدون لحاظ آن محاسبه شد. جدول ۶ شامل مقادیر خطا می‌باشد، و مجدداً شاهد کاهش خطا در حالت دوم هستیم.



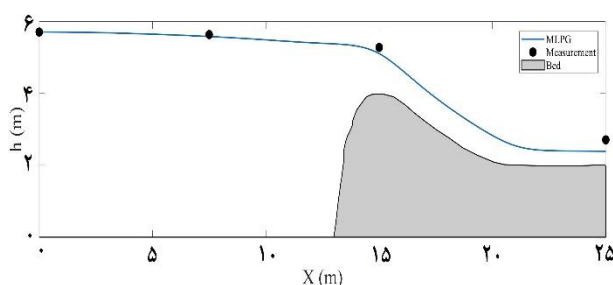
شکل ۱۳- دامنه مسئله با توزیع نامنظم گره‌ای

جدول ۵- مقادیر بدست آمده از مدل در مقاطع مختلف در توزیع نامنظم گره‌ای

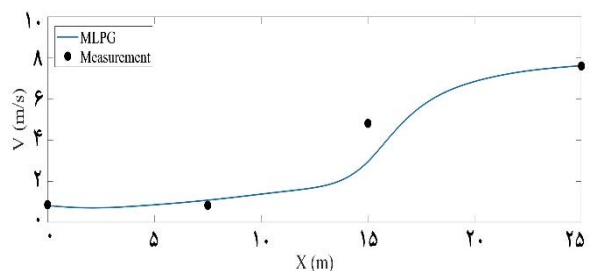
دست چپ (متر)		مرکز (متر)		دست راست (متر)		فاصله (متر)	مقطع
Measurement	MLPG	Measurement	MLPG	Measurement	MLPG		
۵/۷	۵/۷	۵/۷	۵/۷	۵/۷۱	۵/۷۱	تراز سطح آب (m)	A
۰/۳۹	۰/۶۳	۰/۶۳	۰/۶۳	۰/۸۶۵	۰/۸۶۵	سرعت (m/s)	
۵/۶۴	۵/۵۳۸	۵/۶۵	۵/۵۴۲	۵/۶۴	۵/۵۸۶	تراز سطح آب (m)	B
۰/۷۰۵	۱/۴۹۶	۰/۷	۱/۵۴۸	۰/۸۳۵	۱/۰۸۴۲	سرعت (m/s)	
۵/۲۵	۵/۱۱	۵/۲	۵/۲۰۲۷	۵/۲۸	۵/۲۵۲	تراز سطح آب (m)	C
۴/۸۲	۴/۷۱۸۵	۴/۸۵	۳/۴۰۳۲	۴/۸۲	۲/۲۶۵۳	سرعت (m/s)	
۲/۶۷	۲/۴	۲/۵۹	۲/۳۸	۲/۷۱	۲/۳۸۸	تراز سطح آب (m)	D
۷/۵۷	۷/۵۲۲	۷/۷۷	۷/۷۶۸	۷/۶۱	۷/۶۰۶۷	سرعت (m/s)	



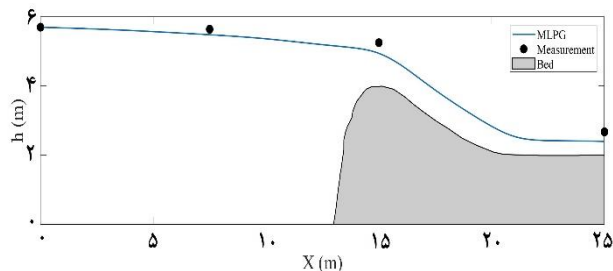
شکل ۱۵- نمودار تراز سطح آب در مقطع  $y=10\text{ m}$  در توزیع نامنظم گره‌ای



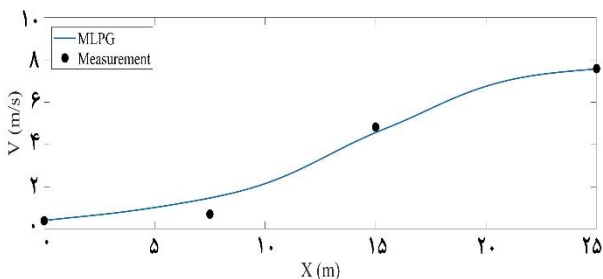
شکل ۱۴- نمودار تراز سطح آب در مقطع  $y=0\text{ m}$  در توزیع نامنظم گره‌ای



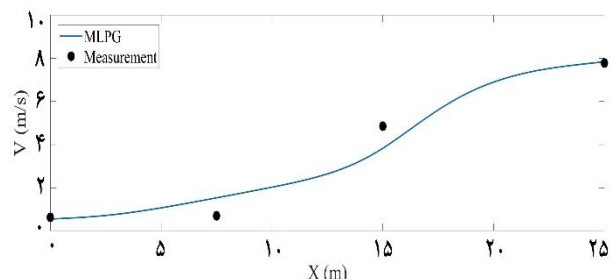
شکل ۱۷- نمودار سرعت آب در مقطع  $y=0\text{ m}$  در توزیع نامنظم گره‌ای



شکل ۱۶- نمودار تراز سطح آب در مقطع  $y=20\text{ m}$  در توزیع نامنظم گره‌ای



شکل ۱۹- نمودار سرعت آب در مقطع  $y=20\text{ m}$  در توزیع نامنظم گره‌ای



شکل ۱۸- نمودار سرعت آب در مقطع  $y=10\text{ m}$  در توزیع نامنظم گره‌ای

جدول ۶- محاسبه خطا در توزیع نامنظم گره‌ای

بدون لحاظ نقطه سرریز		با لحاظ نقطه سرریز	
تراز سطح آب	سرعت	تراز سطح آب	سرعت
۰/۱۷۳	۰/۰۸۹۶	-۰/۱۶۹۰۱	۰/۱۰۳۴۴
۰/۱۸۱۸	۰/۰۸۹۶	۰/۵۲۳۷	۰/۱۰۳۸۹
۰/۱۰۱	۰/۰۴۱۱۴	۰/۲۶۴۸	۰/۰۴۳۰۸

## نتیجه گیری

به دلیل اهمیت معادلات آب‌های کم‌عمق در مهندسی آب، مدل‌سازی عددی این معادلات امری ضروری است. در این پژوهش معادلات آب‌های کم‌عمق با استفاده از روش بدون شبکه پترووگالرکین به همراه تابع شکل حداقل مربعات متحرک و تابع وزن اسپیلاین در نرم‌افزار متلب مدل شد. این روش علاوه بر حذف مشکلات مرتبط با شبکه‌بندی دامنه مسئله، از توانایی خوبی برای حل مسائلی با هندسه نامنظم برخوردار است.

در این تحقیق پس از مدل‌سازی معادلات آب‌های کم‌عمق ابتدا به حل مثال جابجایی در میدان سرعت متغیر پرداخته شد و دقت مدل با محاسبه معیارهای خطا سنجی مورد بررسی قرار گرفت که میزان میانگین خطا، میانگین خطای مطلق و میانگین جذر مربعات به ترتیب برابر  $0/0326$ ،  $0/0655$  و  $0/15627$  متر بود. که این امر نشان از دقت و کارایی مدل است. سپس مسئله عبور آب از روی سرریز سد سیاه‌پیشه با استفاده از مدل در دو حالت با توزیع گره‌ای منظم و توزیع گره‌ای نامنظم حل شد. در حالت منظم نمودار سرعت و تراز سطح آب در مقاطع عرضی مختلف مشابه بود ولی در حالت نامنظم نمودار سرعت و تراز سطح آب به یک شکل نبود، و مقادیر بدست آمده از مدل در مقاطع عرضی مختلف متفاوت بود. سپس نتایج بدست آمده از مدل با مقادیری که به صورت عملی اندازه‌گیری شده بود مقایسه شد. در نهایت نیز خطای محاسباتی مسئله محاسبه گردید و مشخص شد بجز نقطه سرریز که به دلیل فرض فشار هیدرواستاتیک در معادلات آب‌های کم‌عمق مقداری خطا ایجاد می‌شود در سایر نقاط مدل از دقت بسیار خوبی برخوردار است.

## منابع

- کنگره ملی مهندسی عمران، دانشکده مهندسی شهید نیکبخت، ۱۷ و ۱۸ اردیبهشت. زاهدان
- محتشمی، ع.، اکبرپور، ا.، ملازاده، م. ۱۳۹۶. مدل‌سازی جریان آب زیرزمینی در آبخوان آزاد در حالت ماندگار به روش بدون شبکه محلی پتروو - گالرکین. مجله مهندسی مکانیک مدرس، اردیبهشت ۹۶. ۱۷. ۲: ۳۹۳-۴۰۳
- Atluri, S.N and Zhu, T.L. 2000. The meshless local Petrov-Galerkin (MLPG) approach for solving problems in elasto-statics, Computational mechanics. 25: 169-179.
- Belytschko, T., Lu, Y.Y., Gu, L. 1994. Elements free galerkin methods, International journal for numerical methods in engineering. 30. 2: 229-256.
- Darbani, M., Ouahsine, A., Villon, P., Naceur, H., Smaoui, H. 2011. Meshless method for shallow water equations with free surface flow. Applied mathematics and computation. 217: 5113-5124.
- Gingold, R.A and Monaghan, J.J. 1977. Smoothed particle hydrodynamics: Theory and applications to non-spherical stars, Monthly notices of the royal astronomical Society. 181: 375-389.
- Liu, G. 2002. Mesh free methods: Moving beyond the finite element method, Boca raton: CRC press.
- Liu, G., Gu, Y.T. 2005. An introduction to meshfree methods and their programming, Published by springer, P.O.BOX17, 3300 AA dordrecht, the netherlands.
- Nayroles, N., Touzot, G., Villon, P. 1992. generalizing the finite element method: Diffuse approximation and diffuse elements, computational mechanics. 10. 5: 307-318.
- Rahmani Firoozjaee, A and Afshar, M.H. 2011. Discrete least squares meshless (DLSM) method for simulation of steady state shallow water flows, scientia Iranica. 18: 835-845.
- Rodriguez-Paz, M., Bonet, J. 2005. A corrected smooth particle hydrodynamics formulation of the shallow-water equations. Computers and structures. 83. 1396-1410.
- Zhou, X., Hon, Y.C and Cheung, K.F. 2004. A grid-free,

ارزانی، ح. ۱۳۸۵. حل معادلات آب‌های کم‌عمق به روش بدون شبکه. رساله دکتری، دانشکده مهندسی عمران، دانشگاه علم و صنعت، تهران

رحمانی فیروزجائی، ع.، فرویزی، ف. ۱۳۹۲. حل عددی معادلات آب-های کم‌عمق با استفاده از روش بدون شبکه گالرکین. هفتمین

natural element mesh-free numerical method in solving shallow water equations, European journal of environmental and civil engineering. 21: 753-767.

Nonlinear shallow-water model with moving boundary. *Journal of engineering analysis with boundary elements*. 28: 967-973.

Zounemat-Kermani,M and Ghiasi-Tarzi,O. 2016. Using

## Meshless Local Petrov-Galerkin (MLPG) Method for Simulation of Transient State Shallow Water Flows

S.Deymevar<sup>1</sup>, A.Akbarpour<sup>2\*</sup> and M.Mollazadeh<sup>3</sup>

Received: Nov.24, 2017

Accepted: Dec.07, 2017

### Abstract

The importance of shallow water flow in water engineering has led to the governing equations to be studied in various methods. Numerical techniques like finite element are one of these methods. These methods solve differential equations in simple and complex geometric cases by meshing on the computing domain. Recently, Mesh less methods that need no meshing or re-meshing on the domain are being used to solve differential equations in both simple and complex geometric cases. In this research, shallow water equations were modeled using Mesh less local Petrov- Galerkin in with moving least squares approximation function. Then, the convergent in the variable velocity field problem was solved and the model error rate was calculated. it was indicated that the model has a good accuracy, so that the mean error and root mean square error were -0.0326 and 0.15627 respectively..Then, the water flow was calculated from the overflow of Siah Bishe dam and the results of the model were compared with the measured values. Which confirms the accuracy of solving the equations of shallow water using the Petrov- Galerkin method.

**Keywords:** Meshless local Petrov-Galerkin, Moving Least Squares shape function, Shallow water

---

1- M.Sc. Student, Water Resources Engineering, University of Birjand

2- Associate Professor of Civil Engineering, University of Birjand

3- Assistant Professor of Civil Engineering, University of Birjand

(\*-Corresponding Author Email: Akbarpour@Birjand.ac.ir)